

EL NIÑO/OSCILACIÓN DEL SUR (ENSO por sus siglas en inglés) DISCUSIÓN DIAGNÓSTICA

emitida por el

CENTRO DE PREDICCIONES CLIMÁTICAS/NCEP/NWS
y el Instituto Internacional de Investigación para el Clima y la Sociedad
Traducción cortesía del: NWS-WFO SAN JUAN, PUERTO RICO
11 de junio de 2020

Estatus del Sistema de alerta del ENSO: Inactivo

Sinopsis: Se espera ~60% de probabilidad de ENSO-neutral durante el verano 2020 del Hemisferio Norte con probabilidades bastante iguales (~40-50%) de La Niña o ENSO-neutral durante el otoño e invierno 2020-21.

Durante el mes de mayo 2020, las anomalías en las temperaturas de la superficie del mar (SSTs, por sus siglas en inglés) estuvieron cerca o por debajo del promedio a través del Pacífico ecuatorial este y este central (Fig. 1). Todos los índices de el Niño disminuyeron durante el mes, con los valores semanales más recientes de El Niño cerca de -0.4°C (Fig. 2). Las temperaturas ecuatoriales en la subsuperficie (promediadas a través de 180° - 100°W) declinaron aún más durante la primera mitad del mes, pero aumentaron un poco para finales de mes (Fig. 3). Sin embargo, temperaturas bajo el promedio en la subsuperficie del mar prevalecieron al este de la Línea de Cambio de Fecha (Fig. 4). Además, durante el mes, anomalías en los vientos en los niveles bajos estuvieron del este a través del centro y este-central del Pacífico, mientras que las anomalías de los vientos en los niveles altos estuvieron del oeste sobre el centro del Pacífico. La desviación de la convección tropical fue débil, pero aumentada alrededor de Indonesia y suprimida sobre la Línea del Cambio de Fecha y el Pacífico oeste-central (Fig. 5). En general, el sistema oceánico y atmosférico combinado permanecieron consistentes con ENSO-neutral.

La mayoría de los modelos en IRI/CPC (Fig. 6) favorece ENSO-neutral (índice de El Niño -3.4 entre -0.5°C y $+0.5^{\circ}\text{C}$) durante el invierno del Hemisferio Norte. El consenso de los pronosticadores también favorece ENSO-neutral durante el verano, pero luego las probabilidades se dividen bastante equitativamente entre La Niña y ENSO-neutral comenzando la época de agosto a octubre. El consenso mayormente refleja los modelos dinámicos, que tienden hacia La Niña, en conjunto con condiciones oceánicas que son algo favorables para el desarrollo de La Niña. Sin embargo, aún existe bastante incertidumbre y la probabilidad de La Niña permanece por debajo de 50% y es incierto si las anomalías de océano y atmósfera se mantendrá y persistirán. En resumen, existe un ~60% de probabilidad de ENSO-neutral durante el Verano 2020 del Hemisferio Norte, con la probabilidad casi igual de La Niña a ENSO-neutral (~40-50%) durante el otoño e invierno 2020-21, (oprimir [Consenso del Pronóstico de CPC/IRI](#) para la probabilidad de cada resultado en periodos de 3-meses).

Esta discusión es un esfuerzo consolidado de la Administración Nacional Oceánica y Atmosférica (NOAA por sus siglas en inglés), el Servicio Nacional de Meteorología de NOAA y sus instituciones afiliadas. Las condiciones oceánicas y atmosféricas son actualizadas semanalmente en la página de Internet del Centro de Predicciones Climáticas ([Condiciones actuales de El Niño/La Niña y La Discusión de Expertos](#)). De igual manera, los pronósticos para la evolución de El Niño/La Niña son actualizados mensualmente en la sección [Foro de Pronóstico](#) del Boletín de Diagnóstico Climático del Centro de Predicciones Climáticas (CPC por sus siglas en inglés). Perspectivas y análisis adicionales están disponibles en el [blog del ENSO](#). La próxima Discusión Diagnóstica del ENSO está programada para el 9

de julio de 2020. Para recibir una notificación por correo electrónico al momento en que la Discusión Diagnóstica del ENSO mensual esté disponible, favor enviar un mensaje a: ncep.list.enso-update@noaa.gov.

Climate Prediction Center
National Centers for Environmental Prediction
NOAA/National Weather Service
College Park, MD 20740

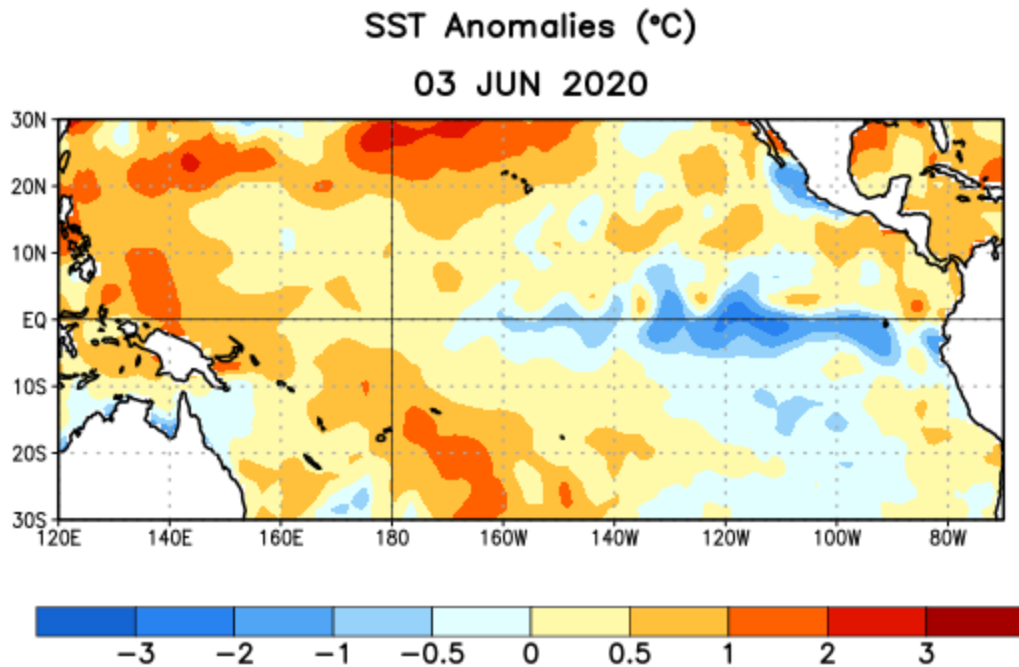


Figura 1. Anomalías (°C) promedio de la temperatura de la superficie del océano (SST, por sus siglas en inglés) para la semana centrada el 3 de junio de 2020. Las anomalías son calculadas utilizando como referencia los periodos promedio semanales de 1981-2010.

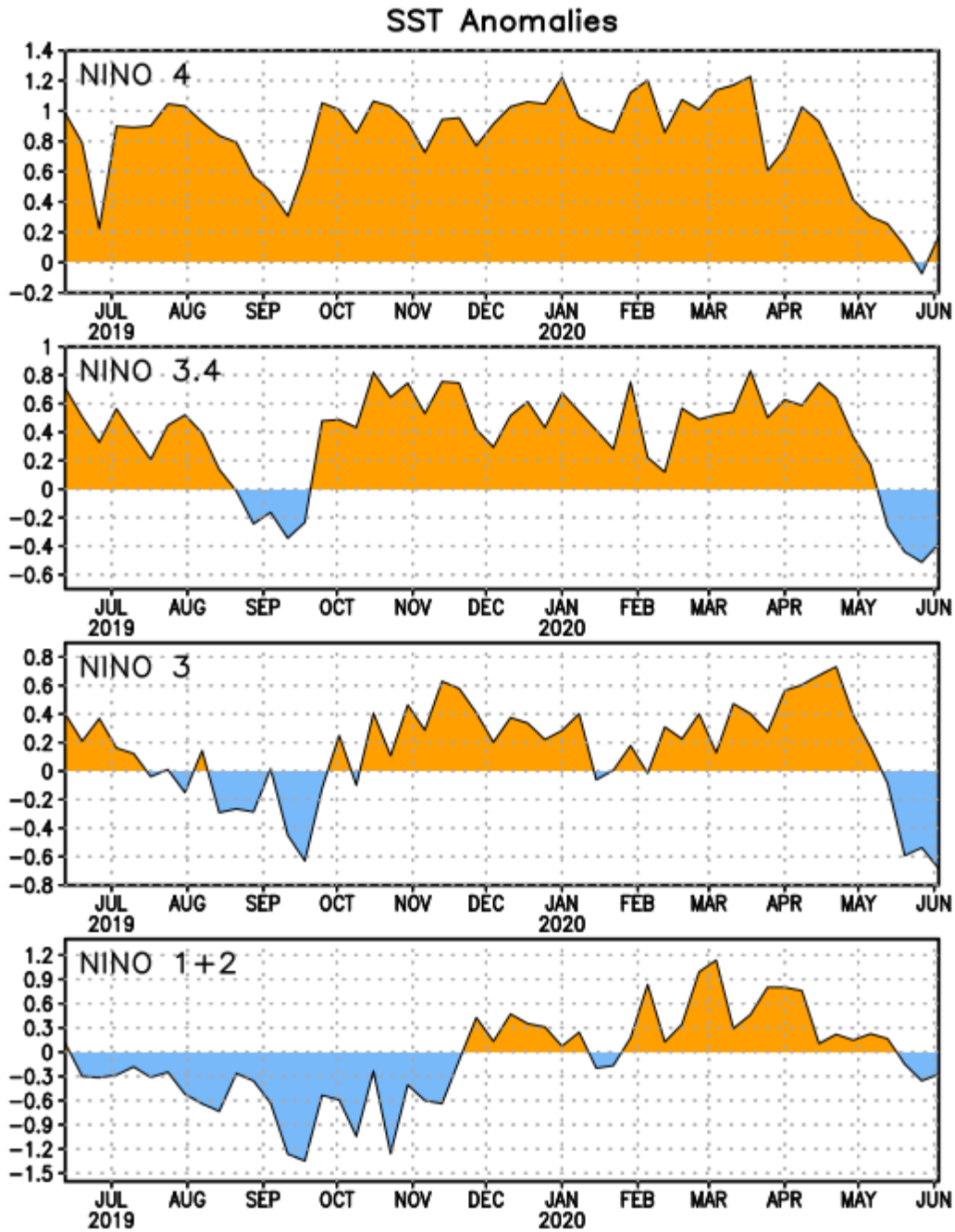


Figura 2. Series de Tiempo de las anomalías (en °C) de temperaturas de la superficie del océano (SST) en un área promediada en las regiones de El Niño [Niño-1+2 (0°-10°S, 90°W-80°W), Niño 3 (5°N-5°S, 150°W-90°W), Niño-3.4 (5°N-5°S, 170°W-120°W), Niño-4 (150°W-160°E y 5°N-5°S)]. Las anomalías de SST son variaciones de los promedios semanales del período base de 1981-2010.

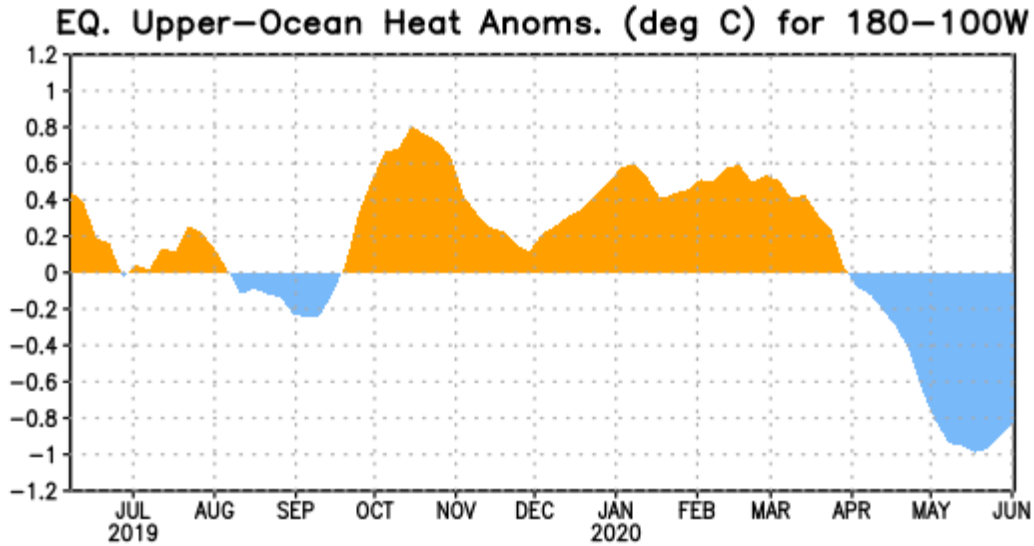


Figura 3. Anomalías del contenido calórico (en °C) en un área promediada del Pacífico ecuatorial (5°N-5°S, 180°-100°W). Las anomalías en el contenido calórico son calculadas como las desviaciones de los penta-promedios del período base de 1981-2010.

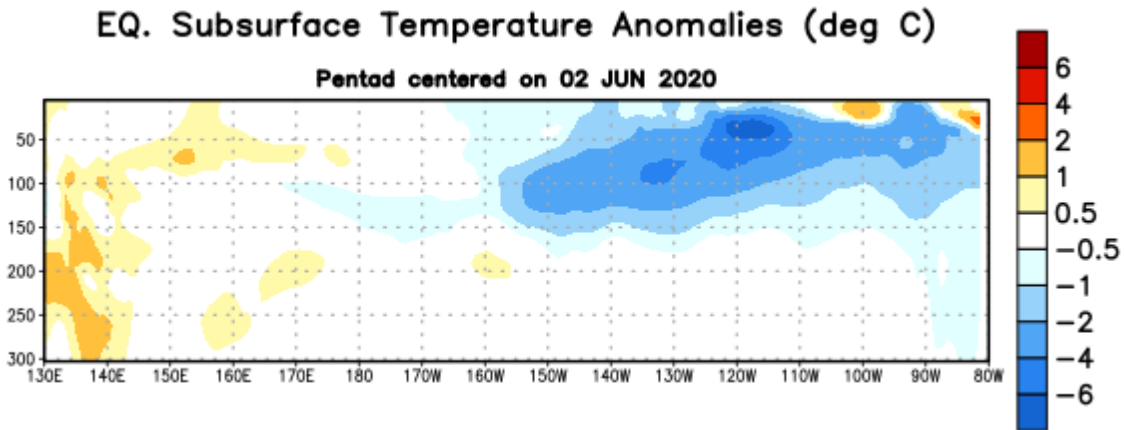


Figura 4: Anomalías de la temperatura (en °C) en un transecto de profundidad-longitudinal (0-300m) en la parte superior del océano Pacífico ecuatorial, centradas en la semana del 2 de junio de 2020. Las anomalías son variaciones a partir de los penta-promedios durante el periodo base de 1981-2010.

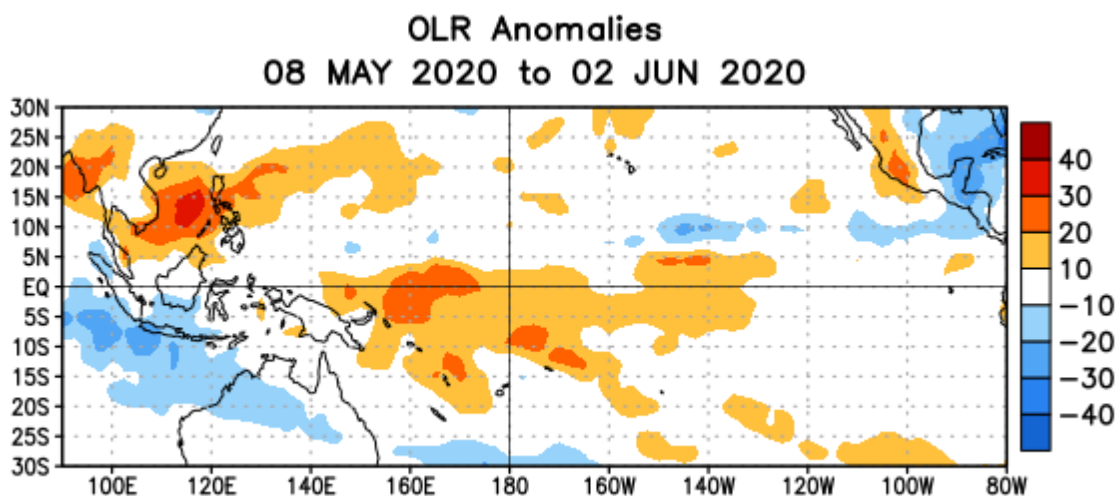


Figura 5. Anomalías del promedio de la radiación de onda larga emitida (OLR, por sus siglas en inglés) (W/m^2) durante el período del 8 de mayo - 2 de junio de 2020. Las anomalías de OLR se calculan como desviaciones de los penta-promedios del período base de 1981-2010.

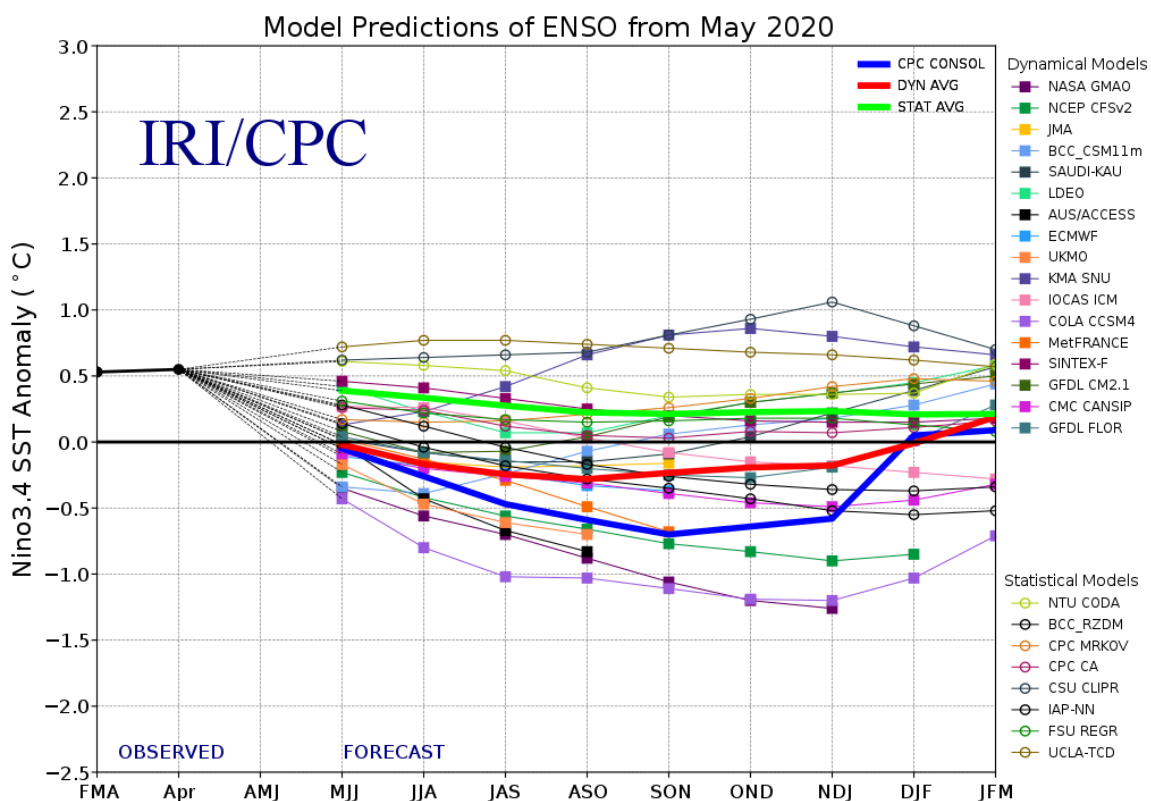


Figura 6. Pronósticos de las anomalías de la temperatura de la superficie del océano (SST) en la región de El Niño 3.4 ($5^{\circ}N-5^{\circ}S, 120^{\circ}W-170^{\circ}W$). Figura actualizada el 19 de mayo de 2020.